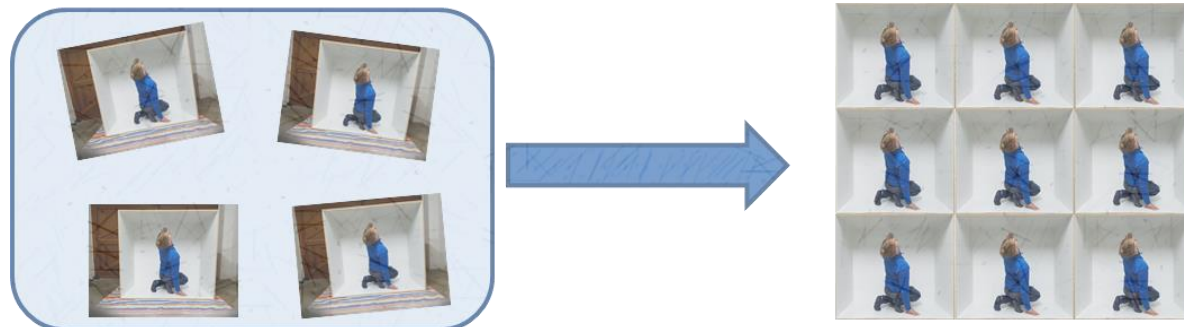


# Digitale Bildverarbeitung 1

Einführung in die digitale Bilderverarbeitung  
für Informatikstudierende im Bachelor

Vorlesung: Michael Möller – michael.moeller@uni-siegen.de

Übungen: Hannah Dröge – hannah.droege@uni-siegen.de

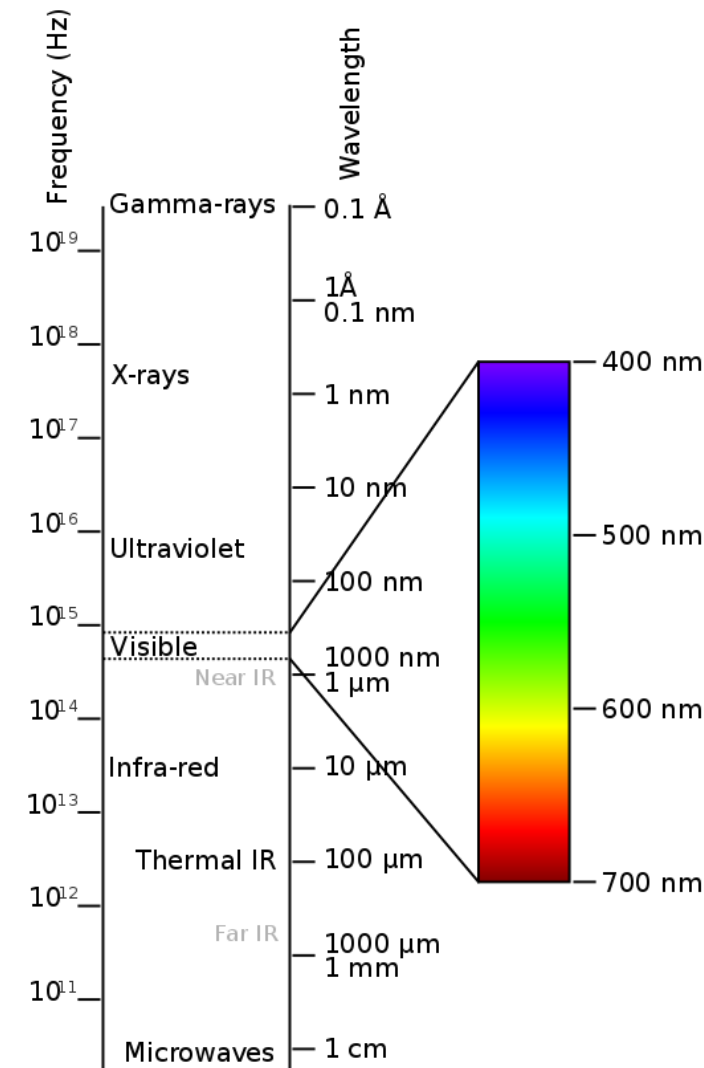
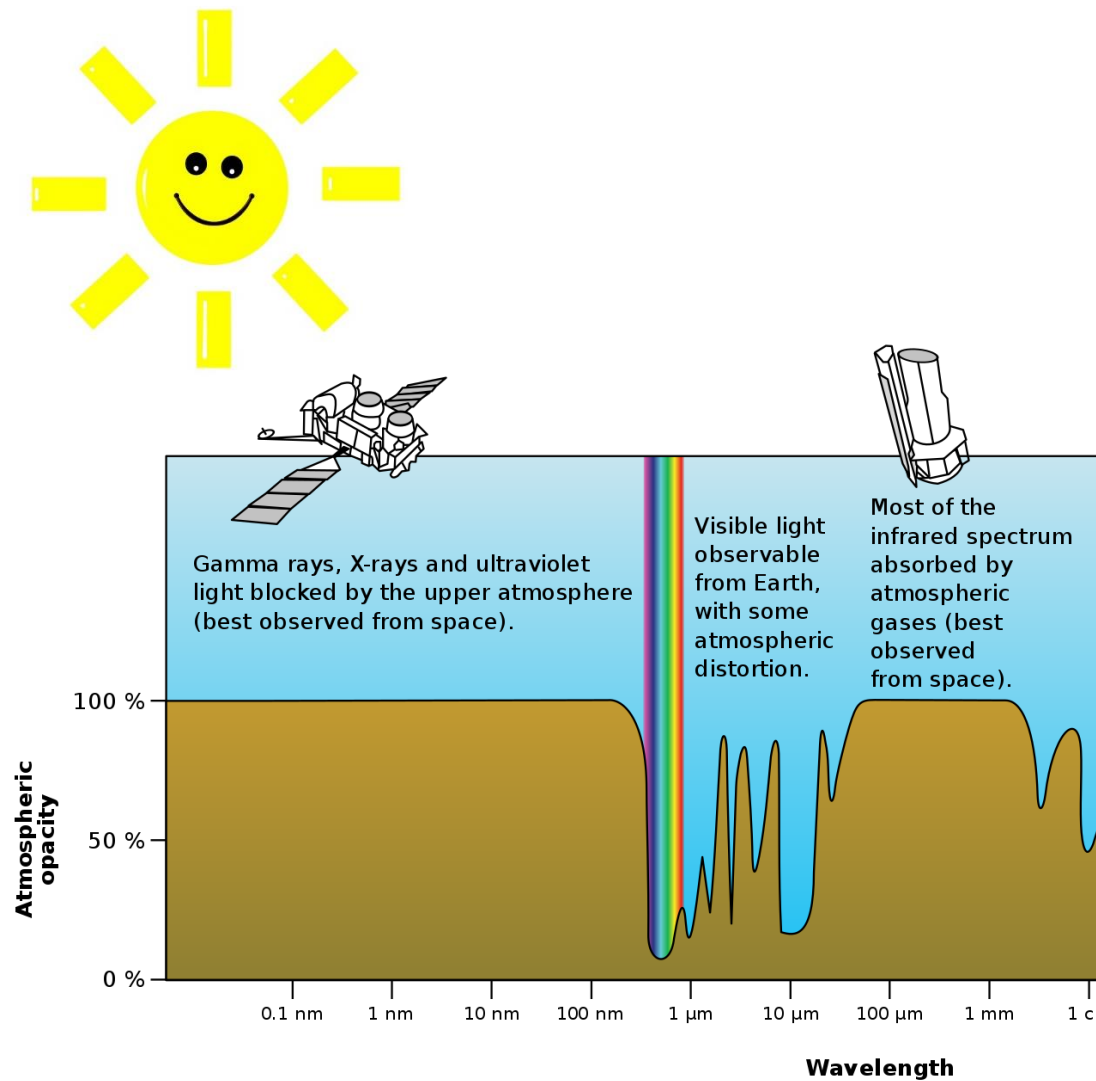


Wir wissen schon wie ein 'fertiges' digitales Bild dargestellt wird,



aber wie kommt es zu einem solchen Bild?

<https://pixabay.com>

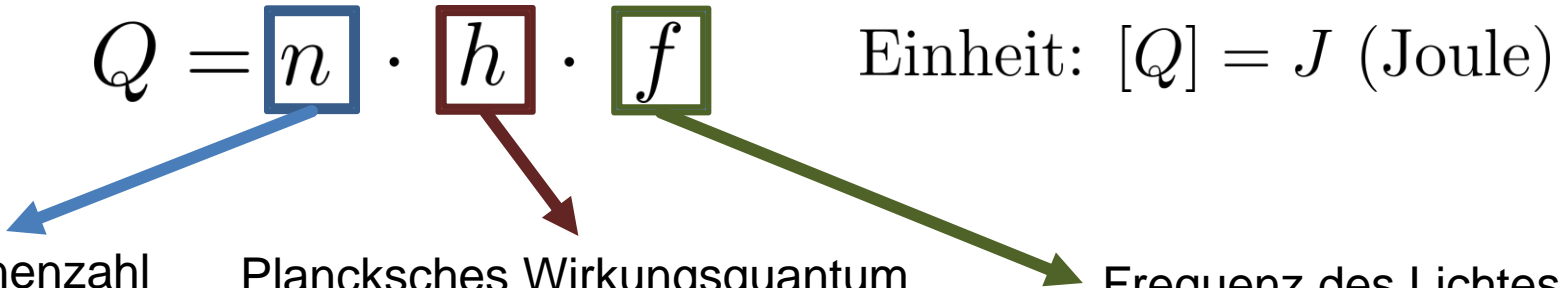


[https://en.wikipedia.org/wiki/Electromagnetic\\_spectrum](https://en.wikipedia.org/wiki/Electromagnetic_spectrum)

Die **Energie** in einem Lichtstrahl (mit fixer Wellenlänge) ist gegeben durch

$$Q = n \cdot h \cdot f$$

Einheit:  $[Q] = J$  (Joule)



Photonenzahl      Plancksches Wirkungsquantum  
 $6.6260755 \cdot 10^{-34} \text{ Js}^2$       Frequenz des Lichtes

Die **Strahlungsleistung** ist Lichtenergie pro Zeit:

$$\phi = \frac{dQ}{dt}$$

Einheit:  $[\phi] = W$  (Watt)

Die **Strahlungsstärke** ist Strahlungsleistung pro Raumwinkel:

$$I_e = \frac{d\phi}{d\Omega} \quad \text{Einheit: } [I_e] = W/sr \text{ (Watt pro Steradian)}$$

Die **Strahldichte**  $L_E$  ist Strahlungsstärke pro effektive Fläche des Senders.

$$\text{Einheit: } [L_e] = W/(m^2 sr)$$

Für all nun definierten Größen gibt es *photometrische Entsprechungen*, die die wellenlängenabhängige Empfindlichkeit des menschlichen Auges berücksichtigt!

Mehr zur menschlichen Wahrnehmung werden wir beim Thema Farbbilder später noch besprechen.

radiometrische Größe	Symbol <sup>a)</sup>	SI-Einheit	photometrische Entsprechung <sup>b)</sup>	Symbol	SI-Einheit
<b>Strahlungsleistung</b> Strahlungsfluss, <i>radiant flux, radiant power</i>	$\Phi_e$	Watt (W)	<b>Lichtstrom</b> <i>luminous flux, luminous power</i>	$\Phi_v$	Lumen (lm)
<b>Strahlungsstärke</b> Strahlstärke, <i>Strahlungsintensität, radiant intensity</i>	$I_e$	W/sr	<b>Lichtstärke</b> <i>luminous intensity</i>	$I_v$	Candela (cd) = lm/sr
<b>Strahldichte</b> Strahlungsdichte, Radianz, <i>radiance</i>	$L_e$	W/(m <sup>2</sup> sr)	<b>Leuchtdichte</b> <i>luminance</i>	$L_v$	cd/m <sup>2</sup>

Gekürzte Übersicht von <https://de.wikipedia.org/wiki/Strahldichte>

$$\text{Wert an einem Pixel} = K_c \left( \frac{tS}{f_s^2} \right) L_v$$

$K_c$  Kamerakonstante

$t$  Belichtungszeit

$f_s$  Blende (F-stop)

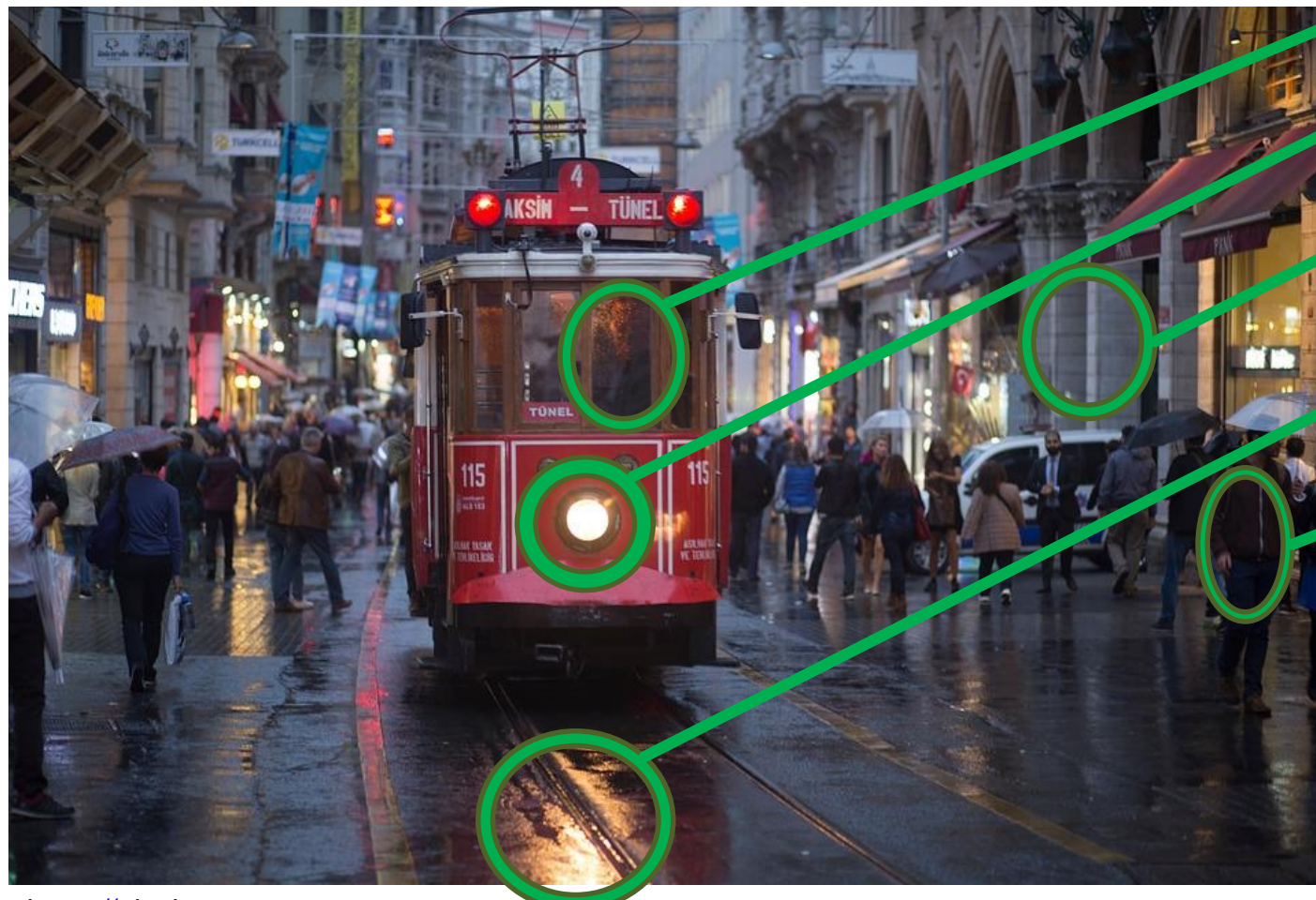
$S$  ISO-Empfindlichkeit

$L_v$  Leuchtdichte

Quelle: "Measuring Luminance with a Digital Camera",  
Peter D. Hiscock, P.Eng,  
<https://www.ee.ryerson.ca/~phiscock/astronomy/light-pollution/luminance-notes-2.pdf>

# Bildentstehung

Auf welche Art können Objekte mit Licht umgehen?



<https://pixabay.com>

Perfekte diffuse Reflexion: *De Lambert'scher Reflektor*

- Kameras messen elektromagnetische Wellen bestimmter Wellenlänge
- Unterschiedliche Objekte gehen unterschiedlich mit elektromagnetischen Wellen (Licht) um (Emission, Transmission, Absorption, Reflexion).

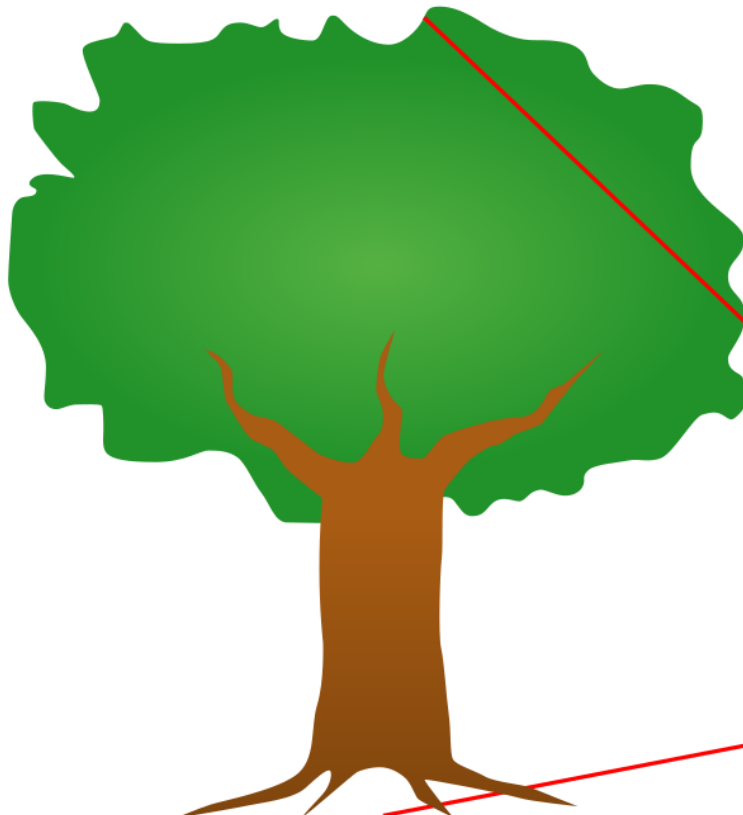
## Aber wir kommt das Licht zum Sensor der Kamera?

Praktische Überlegung: Wieso sollte uns das interessieren, wenn sich Bildverarbeitung mit der Manipulation, Rekonstruktion und Analyse von digitalen Bildern befasst?

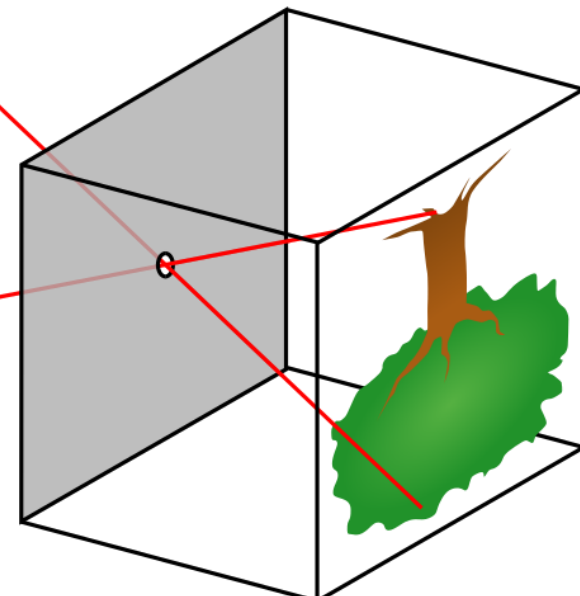
**Ziel:** Wir müssen verstehen wie die Kiste wieder rechteckig wird!



Das einfachste Modell einer Kamera: Die **Lochkamera**

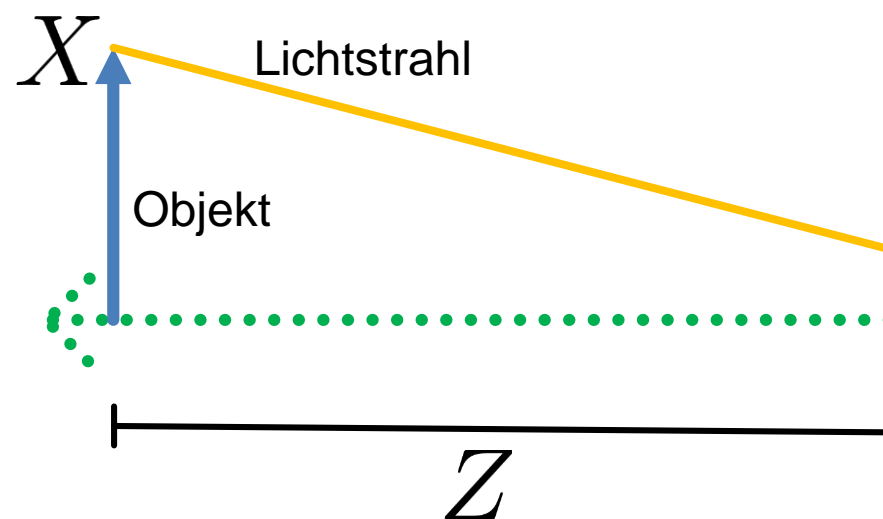


|| ?



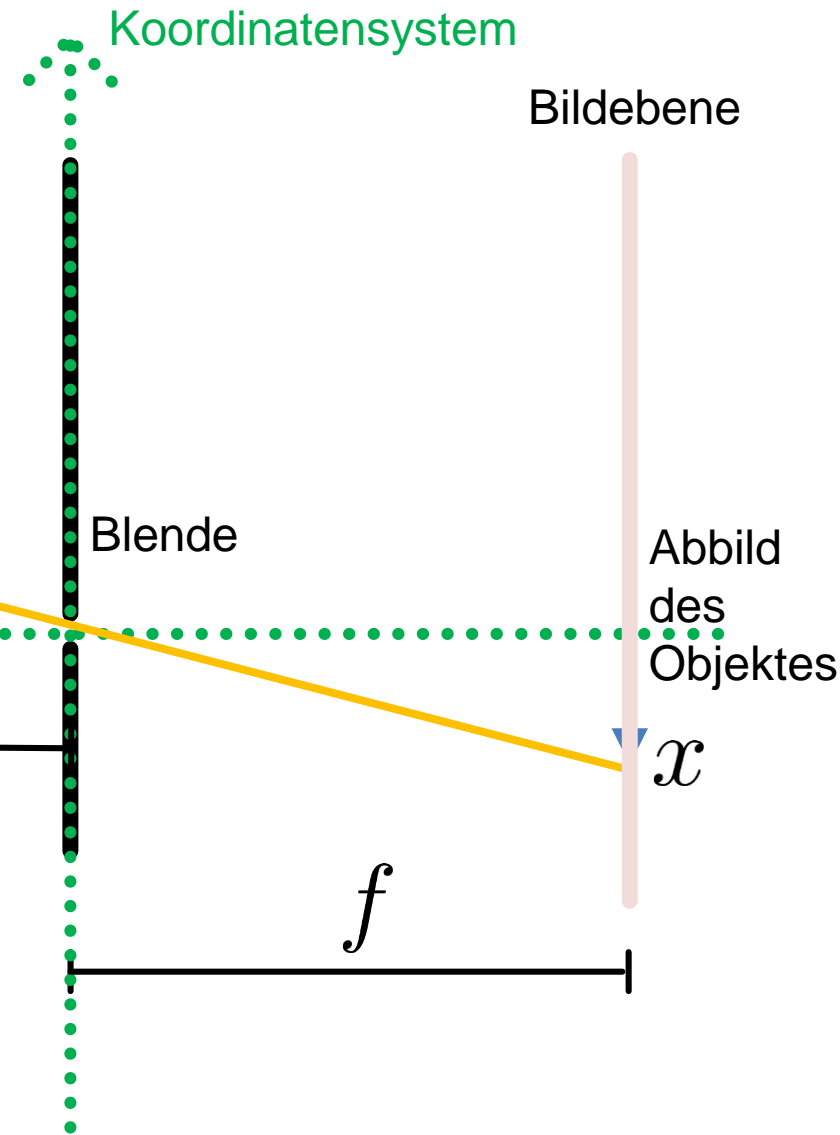
[https://en.wikipedia.org/wiki/Pinhole\\_camera](https://en.wikipedia.org/wiki/Pinhole_camera)

Die **Lochkamera** (etwas abstrakter)

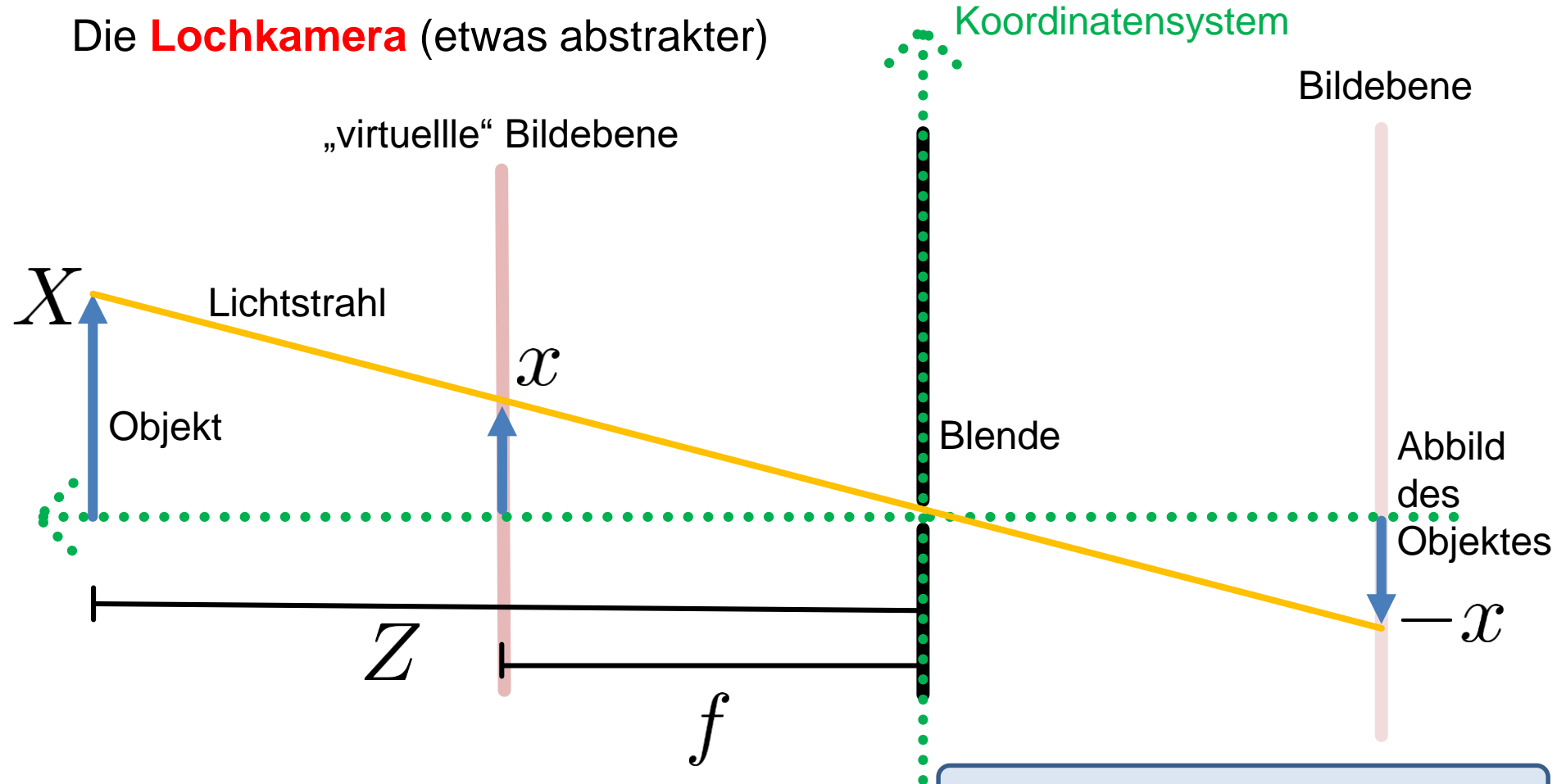


Die zwei ähnlichen Dreiecke liefern

$$\frac{X}{Z} = \frac{-x}{f} \Rightarrow x = -\frac{f}{Z}X$$



Die **Lochkamera** (etwas abstrakter)



Durch Platzieren einer virtuellen Bildebene vor der Blende, erhalten wir ein aufrechtes Bild mit exakt der gleichen Geometrie.

Koordinatensystem  
Bildebene  
„virtuelle“ Bildebene  
Blende  
Abbild des Objektes

Hierfür ändern wir das Vorzeichen der  $x = \frac{f}{Z} X$  Bildkoordinaten.

# Bildentstehung

Die **Lochkamera**  
(in 2d bzw. 3d)

Entlang jeder Koordinate ist die Geometrie exakt  
die gleiche wie im zuvor betrachteten Fall!

$$x_1 = \frac{f}{Z} X_1 \quad x_2 = \frac{f}{Z} X_2$$

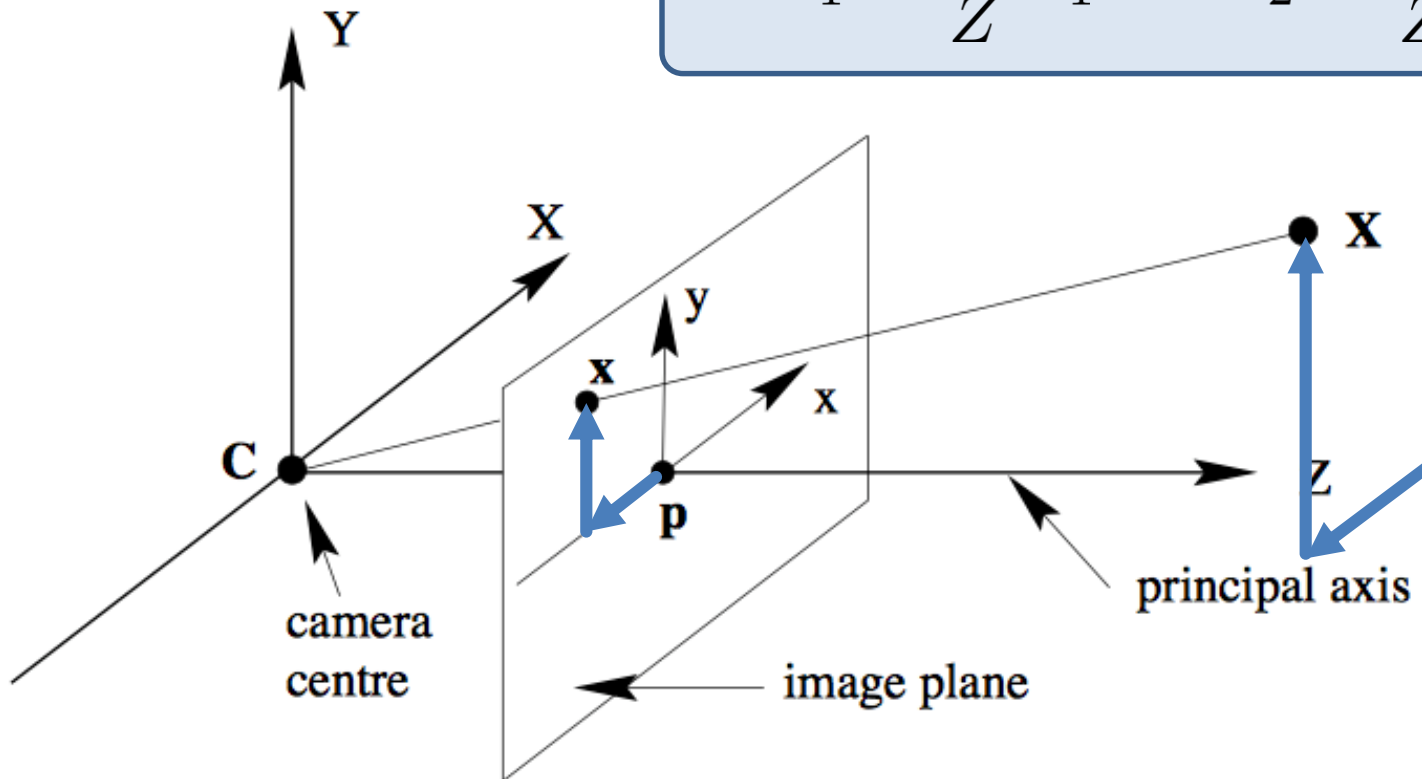
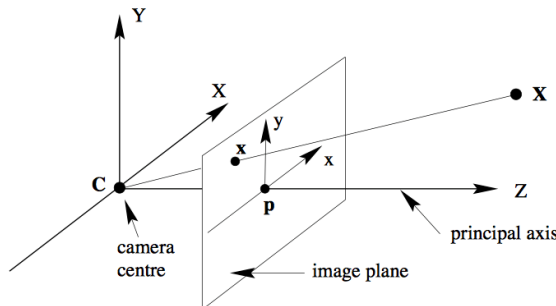


Bild von <https://www.sanyamkapoor.com/machine-learning/an-introduction-to-epipolar-geometry/>

# Bildentstehung



Entlang jeder Koordinate ist die Geometrie exakt die gleiche wie im zuvor betrachteten Fall!

$$x_1 = \frac{f}{Z} X_1 \quad x_2 = \frac{f}{Z} X_2$$

Typische Art dies zu schreiben:

Z-Koordinate des abgebildeten Punktes; Ausdruck der Tatsache, dass Skalieren von die Abbildung nicht ändert. Viele schreiben  $\lambda$  statt  $Z$ .

$$Z \begin{pmatrix} x_1 \\ x_2 \\ 1 \end{pmatrix} = \begin{pmatrix} f & 0 & 0 \\ 0 & f & 0 \\ 0 & 0 & 1 \end{pmatrix} X$$

Z

$\begin{pmatrix} x_1 \\ x_2 \\ 1 \end{pmatrix}$

$\begin{pmatrix} f & 0 & 0 \\ 0 & f & 0 \\ 0 & 0 & 1 \end{pmatrix}$

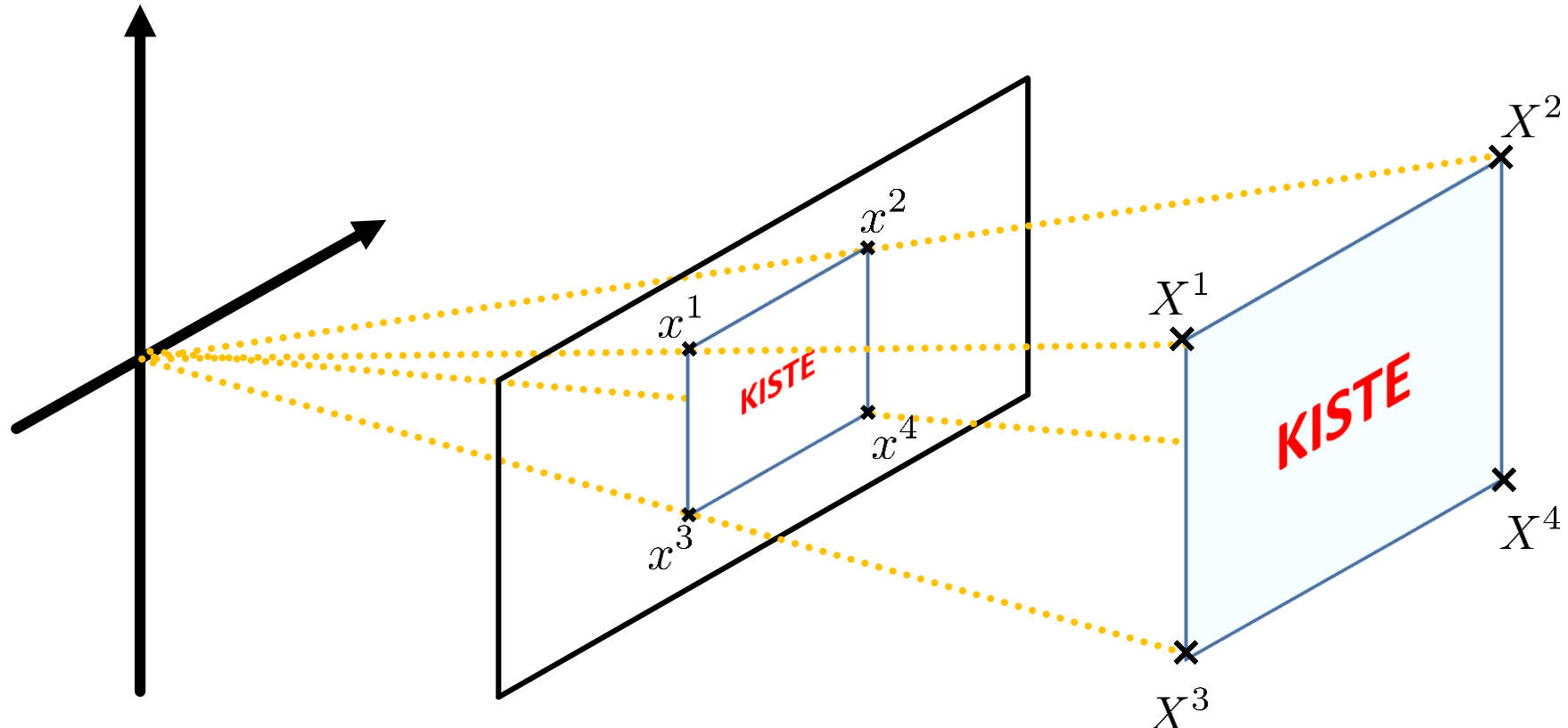
X

Bildpunkt in *homogenen* Koordinaten  $\boldsymbol{x}$

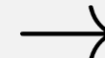
**Kameramatrix** – so bildet die Kamera die 3d Welt ab.  
(Es gibt realistischere Modelle)

Der Einfachheit halber nehmen wir  $f = 1$  an. Gegeben  $\boldsymbol{x}$  heißt dies es gibt ein  $\lambda$  mit  $\lambda \boldsymbol{x} = \boldsymbol{X}$

Für unseren Setzkasten – welchen Fall hätten wir gerne?

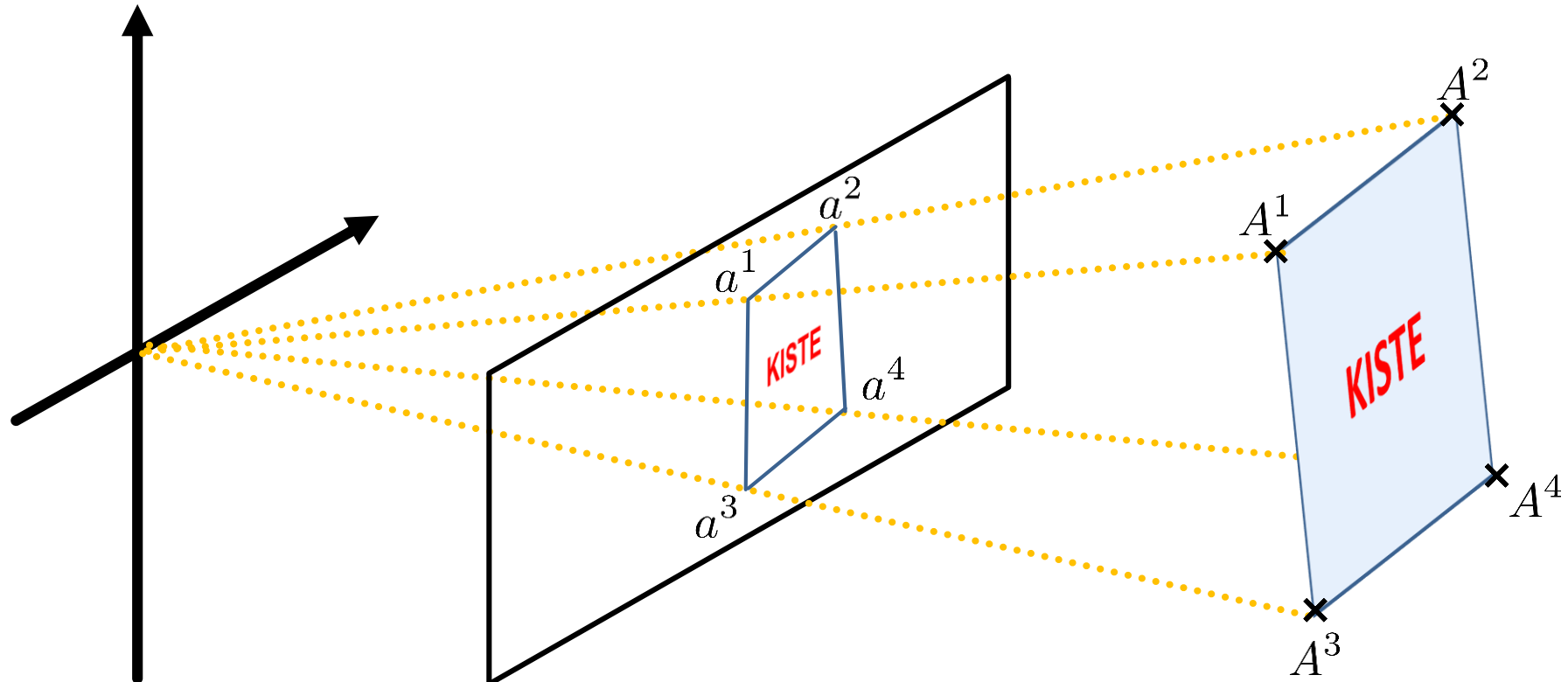


Alle Punkte in einer Ebene, die senkrecht zur optischen Achse (Z-Achse) sieht und richtig rotiert ist (Kanten entlang der Achsen)



Die Punkte werden nur skaliert!  
Sie bleiben ein Rechteck mit Kanten entlang der Achse!

Für unseren Setzkasten – welchen Fall haben wir meistens?



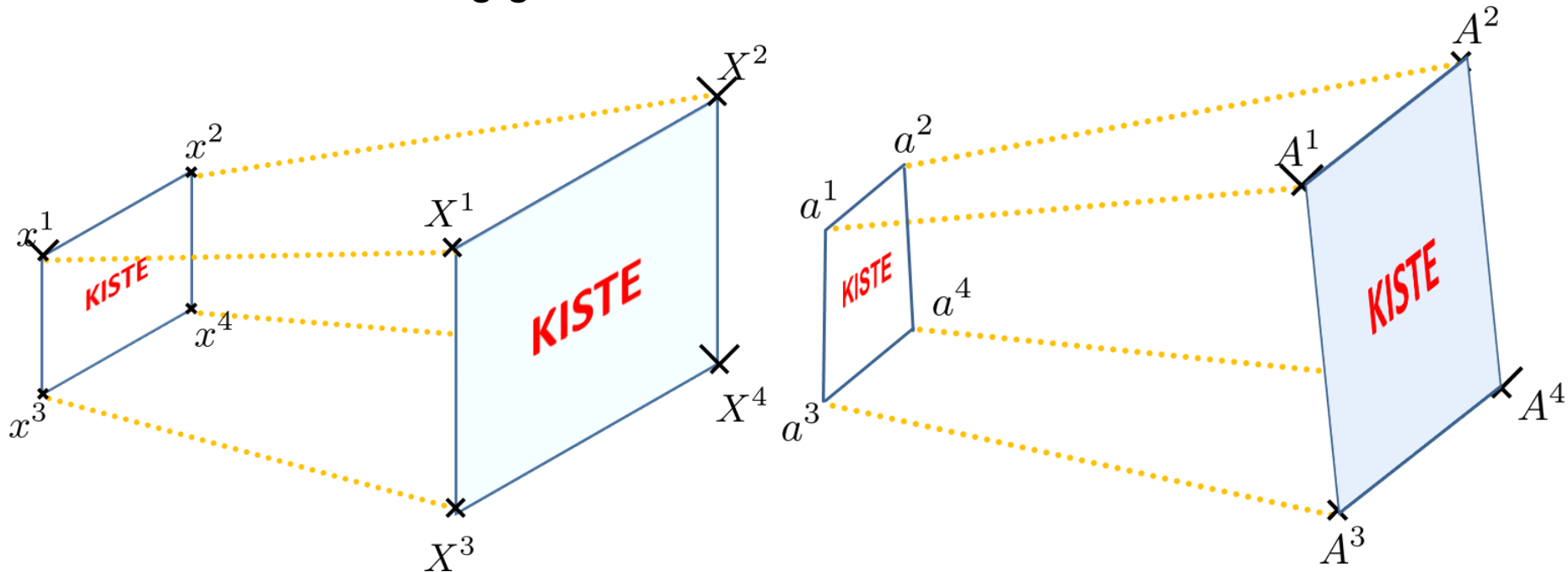
Alle Punkte in einer Ebene, die nicht  
senkrecht zur optischen Achse seht



Die Punkte bleiben kein  
Rechteck!

Für das ‚Begradigen‘ der Kiste:

Welche Beziehung gibt es zwischen den  $X^i$  und den  $A^i$  ?



Wir wissen bereits

$$\lambda_x^i \mathbf{x}^i = X^i$$

$$\lambda_a^i \mathbf{a}^i = A^i$$

Wir stellen uns vor die Kamera ist fix. Dann entstehen die Koordinaten  $A^i$  durch Rotation und Translation der gewünschten Koordinaten  $X^i$ :

$$X^i = R\mathbf{A}^i + \vec{t} \quad \text{für } i \in \{1, 2, 3, 4\}$$

## Einschub – was ist eine Rotationsmatrix?

Vermutlich bekannt aus 2d. Typische Darstellung

$$R = \begin{pmatrix} \cos(\alpha) & -\sin(\alpha) \\ \sin(\alpha) & \cos(\alpha) \end{pmatrix}$$

In 3d, z.B. Zusammensetzen aus Einzeldrehungen um die Achsen

$$\begin{pmatrix} 1 & 0 & 0 \\ 0 & \cos(\alpha) & -\sin(\alpha) \\ 0 & \sin(\alpha) & \cos(\alpha) \end{pmatrix} \quad \begin{pmatrix} \cos(\alpha) & 0 & -\sin(\alpha) \\ 0 & 1 & 0 \\ \sin(\alpha) & 0 & \cos(\alpha) \end{pmatrix} \quad \begin{pmatrix} \cos(\alpha) & -\sin(\alpha) & 0 \\ \sin(\alpha) & \cos(\alpha) & 0 \\ 0 & 0 & 1 \end{pmatrix}$$

Formal:

1. Längen- und Winkelerhaltend, also *orthogonal*:  $R^T R = R R^T = I$
2. Orientierungserhaltend  $\det(R) = 1$

Wir rechnen:

$$X^i = RA^i + t$$

Da alle Punkte  $A^i$  in einer Ebene liegen:

$$n^T A^i = d \quad \Rightarrow \quad 1 = \frac{1}{d} n^T A^i$$

Somit gilt

$$X^i = RA^i + t \left( \frac{1}{d} n^T A^i \right) = \underbrace{\left( R + \frac{1}{d} t n^T \right)}_{=:H} A^i \quad \text{also} \quad X^i = H A^i$$

Wir verwenden nun

$$\lambda_x^i \mathbf{x}^i = X^i \quad \lambda_a^i \mathbf{a}^i = A^i, \quad \text{sodass}$$

$$\lambda_x^i \mathbf{x}^i = \lambda_a^i H \mathbf{a}^i \quad \Rightarrow \quad \mathbf{x}^i = \frac{\lambda_a^i}{\lambda_x^i} H \mathbf{a}^i$$

$$\lambda_x^i \mathbf{x}^i = \lambda_a^i H \mathbf{a}^i \Rightarrow \mathbf{x}^i = \frac{\lambda_a^i}{\lambda_x^i} H \mathbf{a}^i \quad (*)$$

Wir wissen bereits, dass die  $X^i$  in einer Ebene liegen, die senkrecht zur optischen Achse steht, sodass

$$\lambda_x^i = Z_x \quad \text{für alle } i \in \{1, 2, 3, 4\}$$

Falls wir das Gleiche auch für die Punkte  $A^i$  annehmen dürfen, also

$$\lambda_a^i = Z_a \quad \text{für alle } i \in \{1, 2, 3, 4\}$$

So wird (\*) zu

$$\mathbf{x}^i = \underbrace{\frac{Z_x}{Z_a} H}_{:=\tilde{H}} \mathbf{a}^i \Rightarrow \mathbf{x}^i = \tilde{H} \mathbf{a}^i$$

# Bildentstehung - affin

Oder nur für die Bildkoordinaten ausgeschrieben:

$$\begin{pmatrix} x_1^i \\ x_2^i \end{pmatrix} = \begin{pmatrix} \tilde{H}_{11} & \tilde{H}_{12} \\ \tilde{H}_{21} & \tilde{H}_{22} \end{pmatrix} \begin{pmatrix} a_1^i \\ a_2^i \end{pmatrix} + \begin{pmatrix} \tilde{H}_{13} \\ \tilde{H}_{23} \end{pmatrix}$$

Es gibt also einen affin linearen Zusammenhang zwischen den Bildkoordinaten.

Bei bekannten Korrespondenzen von Punkten  $\begin{pmatrix} x_1^i \\ x_2^i \end{pmatrix}$  und  $\begin{pmatrix} a_1^i \\ a_2^i \end{pmatrix}$

liefert obige Relation zwei lineare Gleichungen pro Korrespondenz zur Bestimmung der unbekannten  $\tilde{H}_{kl}$

Somit reichen 3 korrespondierende Punkte (die nicht auf einer Linie liegen) um eine affine Transformation eindeutig zu bestimmen.

Falls die  $A^i$  nicht in einer Ebene senkrecht zur optischen Achse liegen, kehren wir zurück zu:

$$\lambda_x^i \mathbf{x}^i = \lambda_a^i H \mathbf{a}^i \Rightarrow \mathbf{x}^i = \frac{\lambda_a^i}{\lambda_x^i} H \mathbf{a}^i \quad (*)$$

Wir definieren

$$\hat{\mathbf{x}}^i = \begin{pmatrix} 0 & -x_3^i & x_2^i \\ x_3^i & 0 & -x_1^i \\ -x_2^i & x_1^i & 0 \end{pmatrix} \Rightarrow \hat{\mathbf{x}}^i \mathbf{x}^i = \begin{pmatrix} 0 & -x_3^i & x_2^i \\ x_3^i & 0 & -x_1^i \\ -x_2^i & x_1^i & 0 \end{pmatrix} \begin{pmatrix} x_1^i \\ x_2^i \\ x_3^i \end{pmatrix} = 0$$

Und finden durch Multiplikation:

$$0 = \hat{\mathbf{x}}^i \mathbf{x}^i = \hat{\mathbf{x}}^i \left( \frac{\lambda_x^i}{\lambda_a^i} H \mathbf{a}^i \right) \Rightarrow 0 = \hat{\mathbf{x}}^i H \mathbf{a}^i \quad (**)$$

Weitere Strategie:

1. Bestimme die unbekannte Matrix  $H$  mittels (\*\*)
2. Bestimme die Skalierung mittels (\*)

Ergebnis: Wissen wie wir die Koordinaten von einem Bild in das andere umrechnen!

Betrachten wir die Gleichung  $0 = \hat{\mathbf{x}}^i H \mathbf{a}^i$  näher. Es gilt

$$H \mathbf{a}^i = \mathbf{a}_1^i H_{:,1} + \mathbf{a}_2^i H_{:,2} + \mathbf{a}_3^i H_{:,3} \quad \text{wobei die Notation mit dem Doppelpunkt Spalten der Matrix bezeichnet.}$$

Also ist

$$\begin{aligned} \hat{\mathbf{x}}^i H \mathbf{a}^i &= \mathbf{a}_1^i \hat{\mathbf{x}}^i H_{:,1} + \mathbf{a}_2^i \hat{\mathbf{x}}^i H_{:,2} + \mathbf{a}_3^i \hat{\mathbf{x}}^i H_{:,3} \\ &= \underbrace{\left( \mathbf{a}_1^i \hat{\mathbf{x}}^i \quad \mathbf{a}_2^i \hat{\mathbf{x}}^i \quad \mathbf{a}_3^i \hat{\mathbf{x}}^i \right)}_{=: B^i \in \mathbb{R}^{3 \times 9}} \underbrace{\begin{pmatrix} H_{:,1} \\ H_{:,2} \\ H_{:,3} \end{pmatrix}}_{=: \vec{H} \in \mathbb{R}^9} \\ &= B^i \vec{H} \end{aligned}$$

Wir wissen nun

$$0 = B^i \vec{H} \quad \text{mit} \quad B^i = (a_1^i \hat{x}^i \quad a_2^i \hat{x}^i \quad a_3^i \hat{x}^i)$$

Wir haben 4 Punkte (Eckpunkte der Kiste), also  $i \in \{1, 2, 3, 4\}$

Wir setzen zusammen

$$B = \begin{pmatrix} B^1 \\ B^2 \\ B^3 \\ B^4 \end{pmatrix} \in \mathbb{R}^{12 \times 9}$$

Und finden

$$0 = B \vec{H}$$

Welchen Vektor  $\vec{H} \neq 0$  kann man mit  $B$  multiplizieren, sodass man 0 erhält?

$$0 = B \vec{H}$$

Welchen Vektor  $\vec{H} \neq 0$  kann man mit  $B$  multiplizieren, sodass man 0 erhält?

Trick:

$$0 = \underbrace{B}_{\in \mathbb{R}^{12 \times 9}} \vec{H} \Leftrightarrow 0 = \underbrace{B^T B}_{\in \mathbb{R}^{9 \times 9}} \vec{H}$$

Konsequenz: Wir suchen den Eigenvektor von  $B^T B$  zum Eigenwert 0!

(Der Übergang von  $B$  zu  $B^T B$  führt zur sogenannten Singulärwertzerlegung)

Der volle Zusammenhang ist nun gegeben durch

$$\mathbf{x}^i = \frac{\lambda_x^i}{\lambda_a^i} H \mathbf{a}^i$$

Hierfür musste angenommen werden, dass alle Punkte in einer Ebene liegen

Angenommen wir kennen  $H$ . Der volle Zusammenhang ist nun gegeben durch

$$\mathbf{x}^i = \frac{\lambda_x^i}{\lambda_a^i} H \mathbf{a}^i$$

Was ist der (für jeden Punkt individuelle) Skalierungsfaktor  $\frac{\lambda_a^i}{\lambda_x^i}$ ?

Antwort aus homogenen Koordinaten:

Der Vektor  $z^i := H \mathbf{a}^i$

muss mit dem Faktor multipliziert werden, der danach in der letzten Komponente eine 1 liefert, also

$$\mathbf{x}^i = \frac{1}{z_3^i} z^i = \frac{1}{(H \mathbf{a}^i)_3} H \mathbf{a}^i$$

Aus der Geometrie von 3d Welt und Kamera haben wir 2 Arten von Transformationen zwischen den Koordinaten zweier Bilder hergeleitet

## Affine Transformation

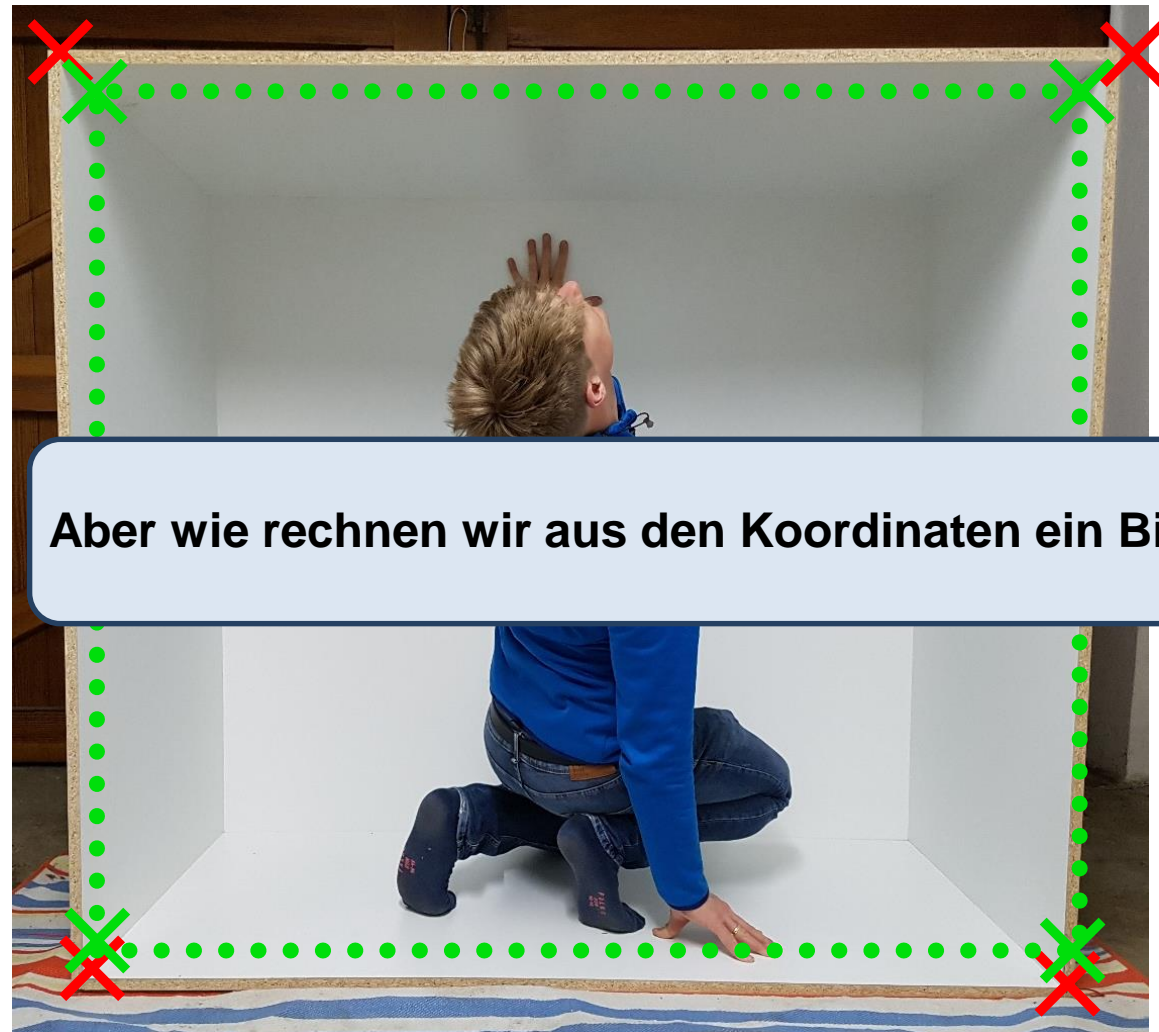
$$\begin{pmatrix} x_1 \\ x_2 \end{pmatrix} = \begin{pmatrix} H_{11} & H_{12} & H_{13} \\ H_{21} & H_{22} & H_{23} \end{pmatrix} \begin{pmatrix} a_1 \\ a_2 \\ 1 \end{pmatrix} \quad \text{also} \quad x = Ha$$

Die Matrix H kann aus 3 Punktkorrespondenzen durch Lösung eines linearen Gleichungssystems bestimmt werden.

## Projektive Transformation

$$\begin{pmatrix} x_1 \\ x_2 \end{pmatrix} = \frac{1}{H_{31}a_1 + H_{32}a_2 + H_{33}} \begin{pmatrix} H_{11} & H_{12} & H_{13} \\ H_{21} & H_{22} & H_{23} \end{pmatrix} \begin{pmatrix} a_1 \\ a_2 \\ 1 \end{pmatrix} \quad \text{oder} \quad x = \frac{1}{(Ha)_3} Ha$$

Die Matrix H kann aus 4 Punktkorrespondenzen durch Lösung eines Eigenwertproblems bestimmt werden.



Durch einen noch zu diskutierenden Algorithmus, oder durch „klicken“

Zuvor festgelegte Zielkoordinaten, z.B.

$$x^1 = (1, 1)^T$$

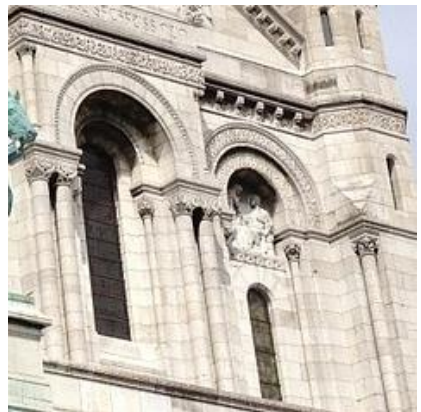
$$x^2 = (500, 1)^T$$

$$x^3 = (1, 500)^T$$

$$x^4 = (500, 500)^T$$

Dank der heutigen Vorlesung können wir Abbildungen bestimmen, die jeder Pixelkoordinate neue Koordinaten (nach der Korrektur) zuweist!

# Kleine Warnung vorab



Die  
Transformationen  
nehmen an, dass  
alle Objekte in einer  
Ebene sind!

